

不連続体内の力学的挙動に対する解析

京都大学工学部 正員 ○ 山本和夫
京都大学大学院 学生員 有岡正樹

1. 結論 筆者らは現在まで主にブロック・ジョイントモデルを対象とした不連続性基盤の力学的特性について実験的に研究を行なってきだ。今回はこの基盤に適用されるべき理論的解析の方法と数値計算例と実験結果と対比しながら述べる。

2. 理論的解析法 この理論において考えたモデルは図1に示すように各ブロックは完全剛体であつて、各ジョイント部分に各2個・計8個のバネをもつており、それらのバネは直いすみとせん断ひずみの両方に抵抗するものとする。各ブロックのある荷重強度における鉛直、水平および回転変位をそれを V_1, V_2, \dots, V_6 , U_1, U_2, \dots, U_6 ($\Phi_1, \Phi_2, \dots, \Phi_6$ (添字)はブロックの番号)とすれば、例えば④のバネに働く垂直およびせん断応力 σ_a, τ_a はつきのように表えられる。

$$\left. \begin{aligned} \sigma_a &= \frac{E}{l_1} \{ (V_6 - V_1) - m(\Phi_6 + \Phi_1) \} \\ \tau_a &= \frac{G}{l_1} \{ (U_6 - U_1) + n(\Phi_6 + \Phi_1) \} \end{aligned} \right\} \quad (1)$$

ここに、 $m = \frac{1}{4}(l_1 + l_2)$, $n = \frac{l_1}{2}$ 。 E, G, l_1 および l_2 はバネ(ジョイント)の弾性係数、せん断弾性係数、ブロック辺長およびバネの長さである。この④～⑥までのバネにより“0,7”ロットに作用する力の鉛直および水平方向のフリーアンドモーメントとのフリーアンドモーメントはつきのように表えられる。

$$\left. \begin{aligned} \text{・鉛直方向の力} & E \{ 4V_6 - (V_1 + V_2 + V_4 + V_5) + m(-\Phi_1 + \Phi_2 + \Phi_4 - \Phi_5) \} \\ \text{・フリーアンドモーメント} & + G \{ 4V_6 - 2(V_3 + V_6) + 2n(\Phi_3 - \Phi_6) \} = 0 \\ \text{・水平方向の力} & E \{ 4U_6 - 2(U_3 + U_6) \} \\ \text{・フリーアンドモーメント} & + G \{ 4U_6 - (U_1 + U_2 + U_4 + U_5) + n(\Phi_1 + \Phi_2 - \Phi_4 - \Phi_5) \} = 0 \\ \text{・モーメント} & Em \{ -V_1 + V_2 + V_4 - V_5 + m(-8\Phi_0 - \Phi_1 - \Phi_2 + 2\Phi_3 - \Phi_4 - \Phi_5 + 2\Phi_6) \} \\ \text{・フリーアンドモーメント} & + Gn \{ 2V_3 - 2V_6 + U_1 + U_2 - U_4 - U_5 + n(-8\Phi_0 - \Phi_1 - \Phi_2 - 2\Phi_3 - \Phi_4 - \Phi_5 - 2\Phi_6) \} = 0 \end{aligned} \right\} \quad (2)$$

さて(2)式を各ブロックに適用して多項連立方程式を解けば、各々 V_1, U_1, Φ_1 は決定される。これと(1)式に代入して各バネに働く応力 σ, τ を算出して、つきに表わされる簡単化したバネの局部破壊条件式より局部破壊の有無を検討する(局部破壊条件式は別に(3)式だけに限定されるものではない)。

$$\tau = C + \sigma \tan \varphi$$

ここに、 C および $\tan \varphi$ はバネ(ジョイント)の粘着力およびさみの係数である。

もし、あるバネが破壊に達しておれば、そのバネを取り去って、新たなフリーアンドモーメント τ を(2)式より検討して逐次破壊を考察していく。

3. 電子計算機による数値計算例 数値計算例に用いた諸定数はつきのように決定した。

$$E = 20,000 \text{ kN/cm}^2, \quad \nu(\text{ポアソン比}) = 0.3$$

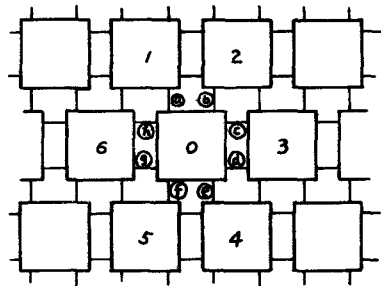


図1 力学的モデル

$$l_1 = 4\text{cm}, l_2 = 0.3\text{cm},$$

$$B(\text{荷重幅}) = l_1, 2l_1, 3l_1$$

$$C = 10.2 \text{ kg/cm}^2, \tan \varphi = 0.611$$

$$\text{i) } \frac{l_1}{B} = 1, \text{各々の場合の初期フランク}$$

数値計算の結果より、このモデル

においては等方等質体には見えないが、表1 初期フランクの発生(case1) において引張応力がフランクの回転によって随所のバネに現れたりしており、破壊はせん断応力か支配的である局部せん断型破壊、引張応力が支配的である局部引張型破壊およびその中間に分りうれる。したがって、初期フランクは必ずしもせん断応力の大きい才1層から発生するとは限らず、表1、2に示されるような位置のバネより発生する。これと同様に表2に示す実験結果と比較すれば、 $\frac{l_1}{B} = 1$ の場合にはcase1とcase2とも両者は一致しているが、 $\frac{l_1}{B} = \frac{1}{2}, \frac{1}{3}$ の場合にはいすれも数値計算における初期フランクと実験における才2フランクの位置が一致している。また初期フランクの発生する荷重強度については、実験結果のはほぼどの値を示しているが、これは仮定したショイントの性質に關係しているものと想われる。

ii) $\frac{l_1}{B} = 1$ の場合の逐次破壊 (図4および表3) はそれぞれ実験および数値計算より得られた逐次破壊様相を示す。

この荷重状態では局部せん断型破壊が優先して、ついで局部引張型破壊が発生するということが両者、結果において一致している。なお、実験においては初期フランクが階段状に下層へ進展した後、内部の局部引張型破壊が発生しているが、これはフランク先端において誘発される局部引張破壊が原因の一つと考えられる。またフランクの発生する荷重強度はi)のときと同様に数値計算の値は実験値のはほぼとなりてている。表4には載荷中心線上の鉛直応力の集中度のフランクの進展による変化を示している。

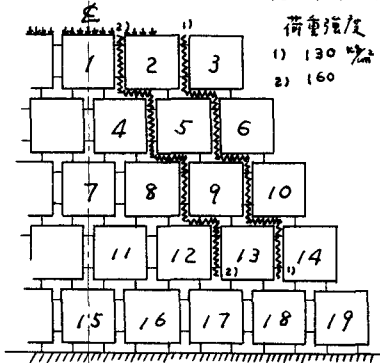
4.あととき この理論的解析はこの種のアロック・ジョイント・モデルの逐次破壊様相をかなりよく表わしておる、大容量の電子計算機を用ひれば、より複雑な状態の現象も把握できる。

$\frac{l_1}{B}$	数値計算		実験	
	位置	荷重強度	位置	荷重強度
1	1@	52 kg/cm	1@	130 kg/cm
$\frac{1}{2}$	4@	70	2@	160
$\frac{1}{3}$	4@	67		

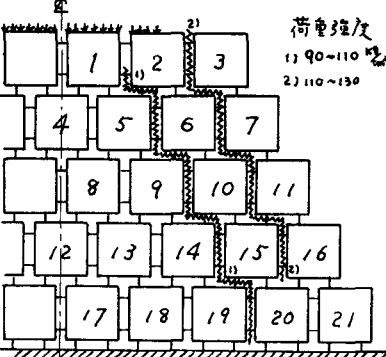
$\frac{l_1}{B}$	数値計算		実験	
	位置	荷重強度	位置	荷重強度
1	4@	100 kg/cm	4@	160 kg/cm
$\frac{1}{2}$	1@	65		
$\frac{1}{3}$	2@	44	1@	100

表1 初期フランクの発生 (case1)

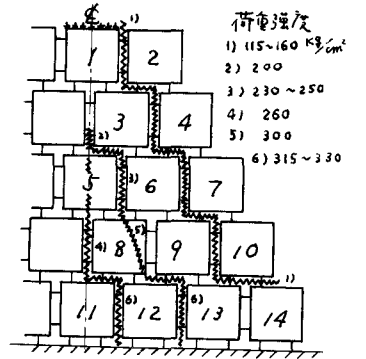
表2 初期フランクの発生 (case2)



(2) 1 $\frac{l_1}{B} = \frac{1}{2}$ (case1) の逐次破壊
(模型実験)



(2) 2 $\frac{l_1}{B} = \frac{1}{3}$ (case2) の逐次破壊
(模型実験)



(2) 3 $\frac{l_1}{B} = \frac{1}{3}$ (case2) の逐次破壊
(模型実験)

順	位置	荷重強度
1)	1@	52 kg/cm
2)	3@	94
3)	5@	94
4)	8@	162

順	B	2B	3B	4B
1)	64	35	30	24
2)	100	48	37	27
3)	100	57	43	30
4)	100	51	51	32
総合	100	50	50	38

表4 載荷中心線上的鉛直応力の集中度(数値)
(荷重強度を100と33)